

İNCE CİDARLI KOMPOZİT BİR TÜRBİN PALASININ DİNAMİK ÇÖZÜMLEMESİ

Serhat YILMAZ*, Seher EKEN†
ve Metin O. KAYA‡
İstanbul Teknik Üniversitesi, İstanbul

ÖZET

Bu çalışmada, bir anizotropik kompozit ince cidarlı kiriş olarak modellenmiş bir palanın titreşim çözümlenmeleri yapılmaktadır. Kirişin analitik formülasyonu, çarpma yönünde eğilme, burulma ve çarpma yönünde enine kesme şekil değiştirmeleri için türetilmiştir. Hem gerinim hem de kinetik enerji ifadelerinin çıkarımları yapılar ve hareket denklemleri, Hamilton ilkesi uygulanarak elde edilir. Hareket denklemleri, Çepeçevre Düzgün Katılık (Circumferentially Uniform Stiffness-CUS) olarak da adlandırılan ters bakışlı (antisimetrik) yatırma biçimlenimi için Genişletilmiş Galerkin Yöntemi (Extended Galerkin Method-EGM) uygulanarak çözülür. Sonuç olarak, doğal frekanslar, literatürdeki sonuçlar ile karşılaştırmalar yapılarak doğrulanır ve sonuçlar arasında iyi bir uyum olduğu görülmektedir. Çarpma-burulma bağlaşımının, enine kesmenin, elyaf yönelimlerinin ve dönme hızının, dönen ince cidarlı kompozit kirişlerin doğal frekansları ve mod şekilleri üzerindeki etkileri ayrıca incelenmiştir.

GİRİŞ

Yüksek yapısal verimlilikleri ve çeşitli potansiyel avantajları nedeniyle, anizotropik kompozit malzemelerden yapılan ince cidarlı yapılar, yaygın olarak, yeni gelişmiş havacılık ve uzay araçları, robot kolları, helikopter/türbin döneç palaları ve yüksek irtifa uzun süre havada kalan (High Altitude Long Endurance-HALE) uçaklar ve insansız hava araçları (İHA) tasarımında kullanılır olması muhtemeldir. Kompozit malzemelerin yönlülük özelliği, bu tür yapılarda geniş bir yelpazede elastik bağlaşım sağlayabilir [Vo ve Lee, 2008a,b; Sina, Ashrafi, Haddadpour ve Shadmehri, 2011; Haddadpour ve Zamani, 2012]. Çarpınma ve ıraksama gibi yüksek seviyede zarara yol açan aeroelastik kararsızlıkların ortaya çıkmasını önlemek amacıyla, bu bağlaşım etkilerinin dikkatli bir şekilde ele alınması gerektiği iyi bilinmektedir.

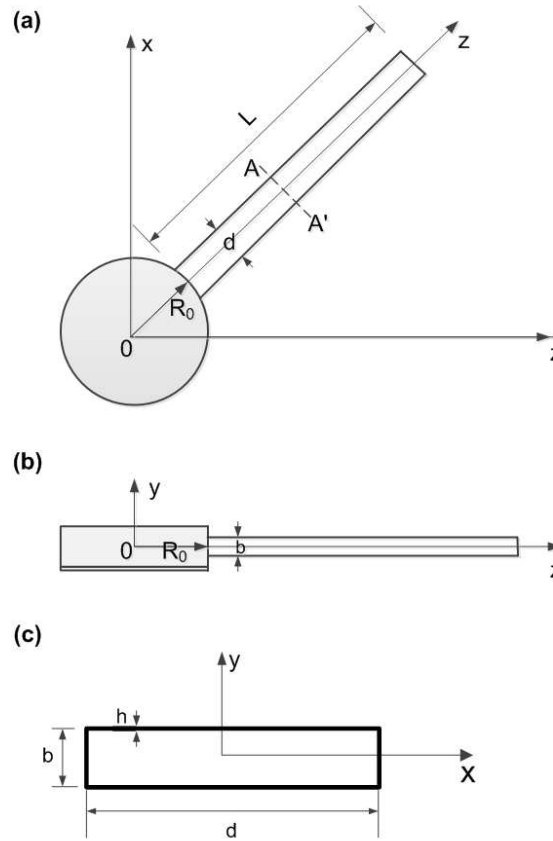
$z = 0$ 'da sabit mesnetli ve $z = L$ 'de serbest uçlu olan L uzunluğundaki bir dönen ince cidarlı kompozit kiriş incelenmiştir. Kirişin karakteristik kesitsel boyutu ve en büyük cidar kalınlığı,

*Arş. Gör. Serhat YILMAZ, Uçak Müh. Böl., E-posta: yilmazser2@itu.edu.tr

†Dr. Seher EKEN, Uçak Müh. Böl., E-posta: durmazseh@itu.edu.tr

‡Prof. Dr. Metin O. KAYA, Uçak Müh. Böl., E-posta: kayam@itu.edu.tr

sırasıyla, d ve h ile temsil edilmektedir. Ayrıca, dönme hızı Ω ile ve göbek yarıçapı R_0 ile belirtilmiştir. Kirişin kartezyen koordinat sistemi ile ilişkili kinematik değişkenleri, u , v , w and ϕ ile temsil edilen yer değiştirmeler ve kesitsel dönme ile gösterilmiştir. Burada, çevresel koordinat olarak adlandırılan orta yüzeye s teğet ve n ise diktir. Kapalı kontur $x = x(s)$ ve $y = y(s)$ koordinatları ile tanımlanır. Çift dışbükey kesite sahip pala geometrisinin önden ve yandan görünüşü Şekil ??a-c'de gösterilmiştir.



Şekil 1. (a) Önden görünüş, (b) Yandan görünüş, (c) AA' kesidi

Göbeğin merkezinden ölçülen konum vektörü R , aşağıdaki şekilde ifade edilir.

$$R = R_0 + R_v + \Delta \quad (1)$$

Burada, $R_0 = R_0 \mathbf{k}$, $R_v = x\mathbf{i} + y\mathbf{j} + z\mathbf{k}$ ve $\Delta = u\mathbf{i} + v\mathbf{j} + w\mathbf{k}$ 'dir. Buna göre hız ve ivme vektörleri tanımlanabilir.

Yer Değiştirme Alanı

Bu bölümde, çarpma yönünde eğilme, çarpma yönünde enine kayma ve burulma sehimlerine maruz kalan bir kompozit ince cidarlı kirişin yer değiştirme alanı türetilmiştir. Burada, kartezyen koordinat sistemi (x, y, z) ile temsil edilirken, eğrisel sistemin koordinatları ise (n, s, z_s) ile gösterilir. Orta konturda bulunan $S(x, y)$ noktasının düzlem-içi dönüşümleri u ve v ile tanımlanır.

$$u(x, y, z, t) = u_0(z, t) - y\phi(z, t) \quad (2)$$

$$v(x, y, z, t) = v_0(z, t) + x\phi(z, t) \quad (3)$$

$$w(s, z, t) = w_0(z, t) + \left[y(s) - n \frac{dy}{ds} \right] \theta_x(z, t) + \left[x(s) + n \frac{dx}{ds} \right] \theta_y(z, t) - [F_w(s) - nr_t(s)] \phi'(z, t) \quad (4)$$

Burada; t , zaman; u_0 and v_0 , ($x_P = y_P = 0$) merkezinde bulunan kutup noktası P' 'nin yer deęiřtirmeleri ve $\phi(z, t)$, kesidin dönmesidir. Eğrisel koordinat sistemi ile iliřkili olan teęetsel ve dik yer deęiřtirme bileřenleri sırasıyla, u_t ve u_n 'dir. Hem birincil ve hem de ikincil çarpılma için geçerli olan aksel yer deęiřtirme ařaęıda verilmiřtir.

Gerinim Alanı

İkinci varsayım, kesitlerin kendi düzlemleri içerisinde řekil deęiřtirmedięini belirtir (kesit řekil deęiřmezlięi) [Gjelsvik, 1981; Librescu ve Ohseo, 2006]. Bunun bir sonucu olarak, gerinim bileřenleri ϵ_{xx} , ϵ_{yy} ve γ_{xy} sıfır olur. Ayrıca, sıfır olmayan gerinim bileřenleri ϵ_{zz} , γ_{xz} ve γ_{yz} ; 2, 3 ve 4 denklemleri kullanılarak yeniden ifade edilir.

$$\epsilon_{zz}(s, z, n, t) = \epsilon_{zz}^{(0)}(s, z, n, t) + n\epsilon_{zz}^{(1)}(s, z, t) \quad (5)$$

Benzer řekilde, orta hat konturlarının dıřındaki kayma gerinim bileřenleri, yer deęiřtirme nicelikleri cinsinden tarif edilmiřtir:

$$\Gamma_{sz}(s, z, n, t) = \gamma_{sz}^{(0)}(s, z, n, t) + \gamma_{sz}^{(t)}(s, z, n, t) + n\gamma_{sz}^{(1)}(s, z, t) \quad (6)$$

$$\Gamma_{nz}(s, z, n, t) = \gamma_{nz}^{(0)}(s, z, n, t) \quad (7)$$

Enerji İfadeleri

Kiriřteki enerjisi ifadelerini türetmeden önce, bařlangıç olarak Hamilton ilkesi üzerinde durulacaktır. Bunu yapabilmek için, U potansiyel enerjisine, K kinetik enerjisine ve dıř yükler ve bünye kuvvetleri tarafından yapılan W_e iřine sahip kiriři ele alalım. $\Delta_i = \Delta_i(x, y, z, t)$ olarak gösterilen yer deęiřtirmeler $\Delta_i = \bar{\Delta}_i$ sınır kořullarını saęlar ve yer deęiřtirmelerdeki deęiřimler ayrıca $\delta\Delta_i = 0$ kořulunu iki rastgele zaman olan t_0 and t_1 'de karřılar. Hamilton ilkesi ile ařaęıdaki varyasyonelin, t_0 'dan t_1 zamanına kadarki mevcut hareket yolu için sabit olduęu görölmektedir ve řöyle verilir:

$$\delta J = \int_{t_0}^{t_1} \delta(U - K - W_e) dt = 0 \quad (8)$$

Sunulan çalıřma yalnızca serbest titreřim problemini kapsadıęından, kiriř üzerine etkiyen hiçbir $\delta W_e = 0$ dıř yükü yoktur.

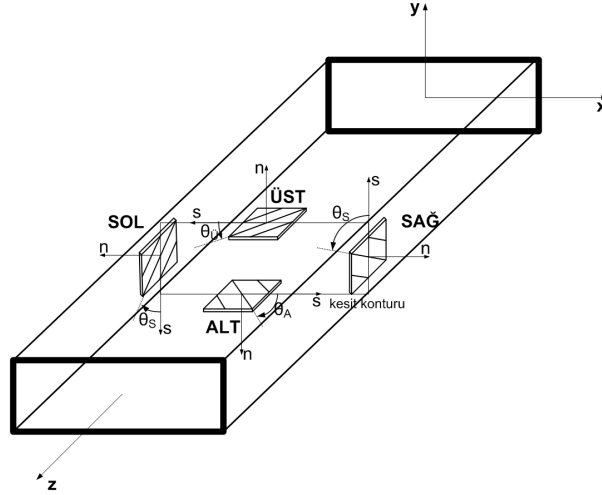
YAPISAL BAęLAřIM BİÇİMLENİMİ

Seçilen malzeme grafit-epoksidir ve řekil 2'de göröldüęü gibi ters bakıřımlı katman biçimlenimi kullanılmıřtır. Ters bakıřımlı katman biçimlenimi kullanılarak iki ayrı elastik baęlařım modu ortaya çıkmaktadır. Bunlardan birinci aksel uzama-burulma baęlařım hareketini, ikincisi de yatay-dikey eğilme baęlařım hareketini modellemektedir. Bu çalıřma bir palanın dinamik çözümlenmesi olduęu için fiziksel olarak incelenmesi gereken ikinci baęlařım hareketidir. Birinci baęlařım hareketi çalıřmaya dahil edilmemiřtir.

TEMEL DENKLEMLER DÜZENİ

Çırpma yönünde eğilme (v_0)-burulma(ϕ)- çırpma yönünde enine kayma (θ_x) CAS biçimlenimine sahip, dönen ince duvarlı kompozit bir kiriř için temel hareket denklemleri řu řekilde verilmiřtir[Sina, Ashrafi, Haddadpour ve Shadmehri, 2011]:

$$\delta u_0 : \quad a_{34}\theta_x'' + a_{44}(u_0'' + \theta_y') = b_1\ddot{u}_0 \quad (9)$$



Şekil 2: Ters bakışimli kompozit biçimleniminde katmanlar

$$\delta v_0 : \quad a_{25} \theta_y'' + a_{55} (v_0'' + \theta_x') = b_1 \ddot{v}_0 \quad (10)$$

$$\begin{aligned} \delta \theta_x : \quad & a_{33} \theta_x'' + a_{34} (u_0'' + \theta_y') - a_{25} \theta_y' - a_{55} (v_0' + \theta_x) \\ & = (b_4 + b_{14}) \ddot{\theta}_x \end{aligned} \quad (11)$$

$$\begin{aligned} \delta \theta_y : \quad & a_{22} \theta_y'' + a_{25} (v_0'' + \theta_x') - a_{34} \theta_x' - a_{44} (u_0' + \theta_y) \\ & = (b_5 + b_{15}) \ddot{\theta}_y \end{aligned} \quad (12)$$

Kökteki sınır koşulları, $z = 0$ 'da,

$$u_0 = 0 \quad v_0 = 0 \quad \theta_x = 0 \quad \theta_y = 0 \quad (13)$$

Uçtaki sınır koşulları, $z = L$ 'de

$$\delta u_0 : a_{34} \theta_x' + a_{44} (u_0' + \theta_y) \quad (14)$$

$$\delta u_0 : a_{25} \theta_y' + a_{55} (v_0' + \theta_x) \quad (15)$$

$$\delta \theta_x : a_{33} \theta_x' + a_{34} (u_0' + \theta_y) = 0 \quad (16)$$

$$\delta \theta_x : a_{22} \theta_y' + a_{25} (v_0' + \theta_x) = 0 \quad (17)$$

Eksenel kuvveti hesaba katmayarak şu elde edilebilir: $T_z(z, t) = b_1 \Omega^2 R(z)$ and $R(z) = R_0(L - z) + \frac{1}{2}(L^2 - z^2)$.

ÇÖZÜM

Bu çalışmada incelenen dönen ince cidarlı kompozit kiriş modeli için, temel denklemler çeşitli elastik bağlaşımlar içerir ve ilgili sınır koşulları oldukça karmaşıktır. Sonuç olarak kesin bir çözüm elde etmek kolay değildir. Bu nedenle, kiriş modelinin dinamik özelliklerinin elde edilmesi için EGM kullanılacaktır. Bu yöntem sadece geometrik sınır koşullarını sağlaması gereken ağırlık fonksiyonlarını seçmeyi önerir [Meitrovich, 1997]. Özdeğer problemini ayrıklaştırılabilirlik için Genişletilmiş Galerkin Yöntemi kullanılarak v_0 , ϕ ve θ_x yer değiştirmeleri aşağıdaki biçimdeki gibi kabul edilir: Önceki bölümde verilen hareket denklemleri çeşitli bağlaşımların modlarını içermektedir,

ayrıca sınır koşulları oldukça karmaşıktır. Analitik bir çözüm yapmak mümkün olmamakla birlikte, Galerkin Yöntemi kullanılarak ayrıklaştırma yapılmıştır. Bu metot şekil fonksiyonlarının sadece geometrik sınır şartlarını sağlayacak şekilde seçilmesini önerir. Bu yöntemi kullanarak aşağıdaki şekilde bir ayrıklaştırma yapılır:

$$u_0(z,t), v_0(z,t), \theta_x(z,t), \theta_y(z,t) = (N_u^T(z), N_v^T(z), N_x^T(z), N_y^T(z)) (q_u(t), q_v(t), q_x(t), q_y(t)) \quad (18)$$

Burada, N_u , N_v , N_x ve N_y $N \times 1$ boyutunda şekil fonksiyonlarıdır ve q_u , q_v , q_x and q_y ise genelleştirilmiş koordinatlarıdır. Sonuçlar şekil fonksiyonlarının çokterimli olarak önerilmesi ile elde edilir. Ayrıklaştırılmış hareket denklemleri aşağıdaki formda elde edilir.

$$\mathbf{M}\ddot{\mathbf{q}}(t) + \hat{\mathbf{K}}\mathbf{q}(t) = 0 \quad (19)$$

Serbest titreşim çözümlemesini yapabilmek için, $\mathbf{q} = X e^{i\omega t}$ kabul edilir ve özdeğer problemi aşağıdaki gibi tanımlanır:

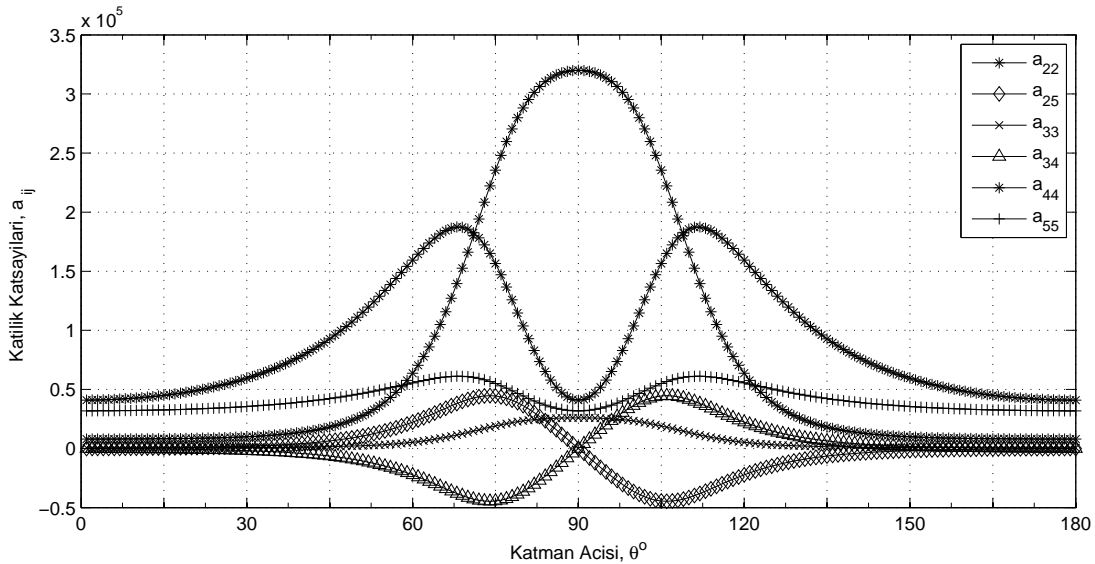
$$(\lambda \mathbf{I} - \mathbf{M}^{-1}\mathbf{K})X = 0 \quad (20)$$

Burada $\lambda = \omega^2$ 'dir. Burada, Sistemin doğal frekansları ω ile gösterilirken, özvektörler ve özdeğerler sırasıyla, X and λ ile temsil edilmektedir.

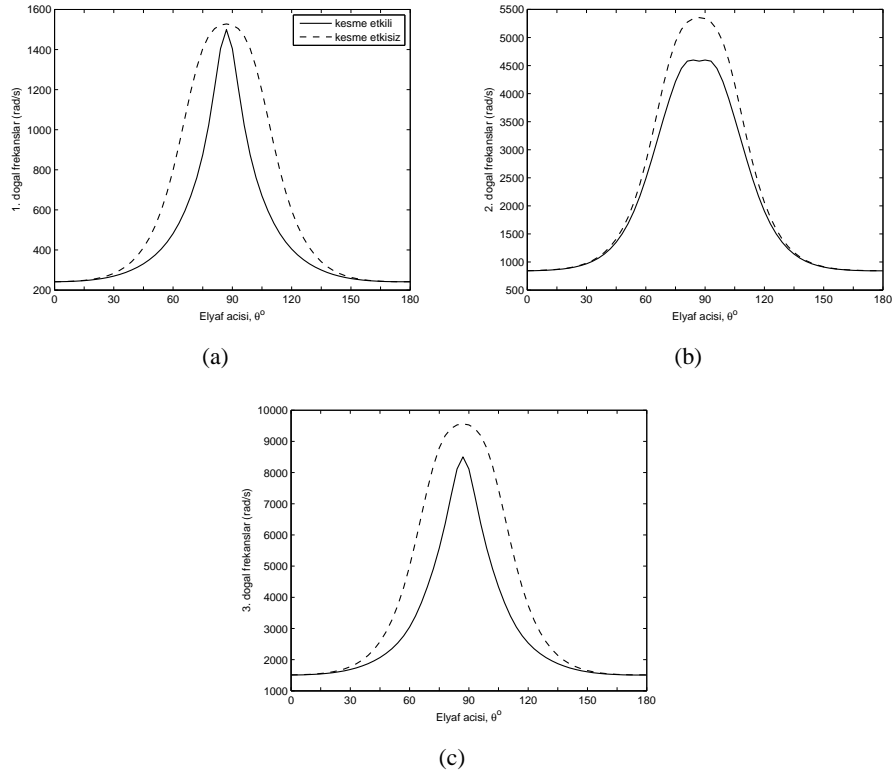
SONUÇLAR VE TARTIŞMA

Bu bölümde, dönen ince duvarlı kompozit kirişlerin dinamik çözümleme sonuçları sunulmuştur. İlk olarak, dinamik çözümlemeler dönmeyen ince cidarlı kompozit kiriş ($\Omega=0$) için yapılmıştır. Doğal frekansların doğrulaması, [Librescu ve Ohseo, 2006] kaynağındaki kiriş için yapılmıştır. Göbek yarıçapının sıfır ($R_0 = 0$) olduğuna dikkat edilmelidir.

Katılık niceliklerinin değişimi, katman açısı yönelimine göre çizilmiş ve Şekil 3'te verilmiştir. Daha sonra sıfır dönme hızı için Şekil 4, katman açısının bir fonksiyonu olarak, birinci, ikinci ve üçüncü özfrekanslarını gösterir. Burada dairesel ve dairesiz sürekli çizgiler sırasıyla, kesme etkisiz (US) ve kesme etkili kiriş kuramlarını gösterir.

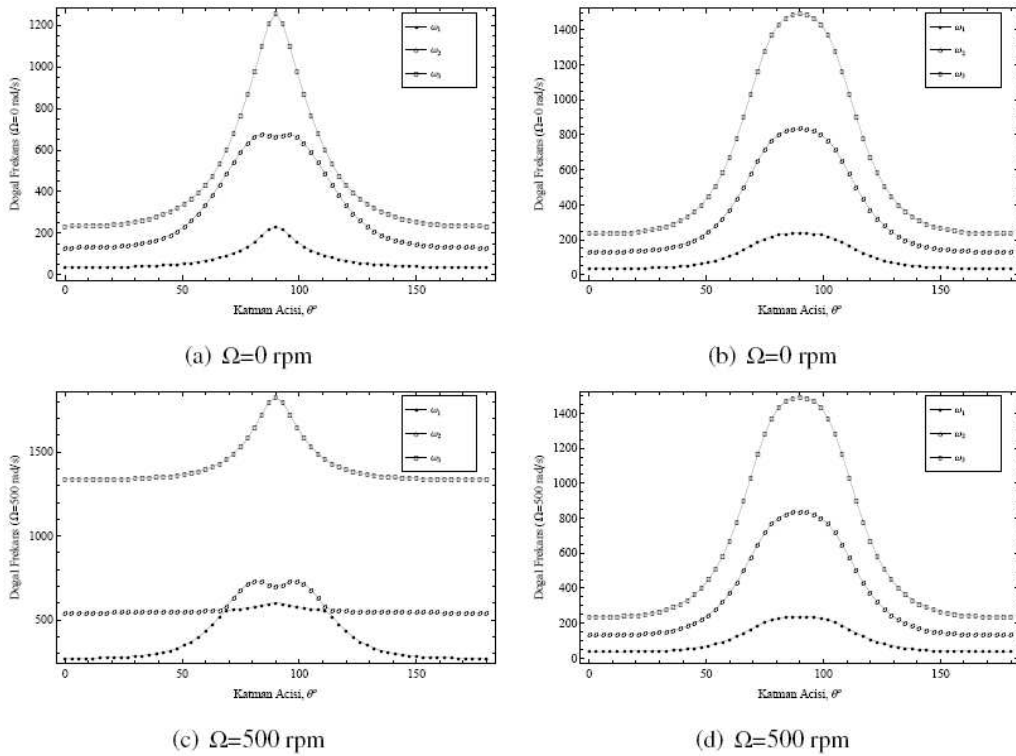


Şekil 3: Katılık katsayılarının elyaf açılarına göre değişimi



Şekil 4: 1., 2. ve 3. doğal frekansların elyaf açıları ile değişimi, $\Omega = 0$.

Ayrıca, Şekil 5a-d sıfır olmayan dönme hızları için katman açlarına göre ilk üç doğal frekansın değişimini gösterir. Her iki şekilde de görüldüğü gibi, enine kesme etkisini hesaba katmadan yapılan çözümler, doğal frekansları olduklarından düşük olarak sunarlar ve bu düşük tahmin yüksek dönme hızları için daha belirgin bir hale gelir.



Şekil 5: Farklı dönme hızları için doğal frekansların değişimi.

Kaynaklar

- Gjelsvik, A., 1981. *The theory of thin walled bars*, Wiley
- Haddadpour, H. ve Zamani Z., 2012. *Curvilinear fiber optimization tools for aeroelastic design of composite wings*, Journal of Fluids and Structures, Vol 33, p.180-190
- Librescu, L. ve Ohseop, S., 2006. *Thin-walled composite beams: Theory and Application*, The Netherlands: Springer
- Meitrovich, L., 1997. *Principles and Techniques of Vibrations*, Prentice-Hall
- Sina, S. A., Ashrafi, M. J., Haddadpour, H. ve Shadmehri, F., 2011. *A Strip Method for Prediction of Damping in Subsonic Wind Tunnel and Flight Flutter Tests*, Proceedings of the Institution of Mechanical Engineers, Part G, Journal of Aerospace Engineering, Vol 225, p.387-402
- Vo, Thuc Phuong ve Lee, Jaehong, 2008. *Flexural-torsional behavior of thin-walled composite box beams using shear-deformable beam theory*, Engineering Structures, Vol 30, p.1958-1968
- Vo, Thuc Phuong ve Lee, Jaehong, 2008. *Free vibration of thin-walled composite box beams*, Composite Structures, Vol 84, p.11-20